

الله  
الله  
الله



## دانشکده‌ی شیمی

پایان‌نامه دوره‌ی کارشناسی ارشد در رشته‌ی شیمی معدنی

موضوع:

سنتر و شناسایی کمپلکس‌های فلزی با لیگاند‌های کیلیت باز شیف نامتقارن  
حاوی گروههای ایمین-اکسیم

استاد راهنما:

دکتر حمید گلچوبیان

استاد مشاور:

دکتر محمود تاجبخش

اساتید داور:

خانم دکتر نظری

خانم دکتر منادی

نام دانشجو:

حمید قربانپور

خرداد ۱۳۹۰

«پاس و سایش خاص پروردگاری است که جهان را با گوهر علم و دانش آراست و به انسانیت مفهوم نخشد. خدای تورا پاس می کویم که جرعه‌ای از شراب ناب علم را به من نوشاندی. پروردگار اجتماعی جویندگان علم را در گلیه مراحل زندگی راهنمای راهنمایی و راهنمایی اسلامی را ببراش تما با اتحابه ذات اقدس توکام بردازند و توفیق حداکثر خدمت در راه علم نصیب آنان شود، به این امید که در راه تو خدمت گذاری صادق باشند.»

با پاس فراوان از:

استاد ارجمند جناب آقای دکتر گلچه‌بیان که تمام آموخته‌های خود را در این پژوهه را می‌یون ایشان، هستم و با راهنمایی‌های بی‌دین و دلوزانه خود مراد انجام این مهم‌یاری کردند.

جناب آقای دکتر تاجیجش که استاد مشاور من در این پژوهه بودند و از راهنمایی‌های ایشان بسیار بودم.

خانم دکتر نظری و خانم دکتر منادی که زحمت مطالعه و داوری این پایان نامه به عده‌های ایشان بود.

وبالنگر از:

از دوستان خوبم دآزمایشگاه تحقیقاتی معدنی، که در طول این مدت به کاری خوب و صimanه‌ای باهم داشتیم.

## لقدِ کم بـ

پدرم، که کرمای وجودش را بهواره کنار خود احساس می‌کنم، اگرچه در مزار سرد خود آرمیده است

و

مادرم، که بزرگترین حامی من بعد از خداست.

برادر و خواهر هم‌بانم، برای بدی زحمات و راهنمایی باشان

همسرم، برای محبت‌ها و گفک‌های بی‌دینش

## چکیده

در این پژوهه کمپلکس های دو هسته ای مس (II) با فرمول کلی  $[Cu_2(dox-enR_2)_2]X_2$  (که dox-enR<sub>2</sub> لیگندی است که از واکنش تراکمی بین دی استیل مونواکسیم و N,N-دی آلكیل اتیلن دی آمین بدست می آید. R نشان دهنده ی گروه های آلکیلی: متیل، اتیل و ایزوپروپیل می باشد و X نشان دهنده ی یون های مخالف پرکلرات و تترا فنیل بورات است) تهیه گردید. این کمپلکس ها با استفاده از روش های تجزیه ی عنصری، هدایت مولی، طیف سنجی های UV-Vis و IR شناسایی شدند. تأثیر قطبیت حلال و یون های مخالف بر مقادیر  $\lambda_{max}$  انتقالات d-d کمپلکس ها با استفاده از طیف سنجی مرئی مورد بررسی قرار گرفت. تمام کمپلکس ها سولواتوکرومیسم مثبت را نشان دادند. معادلاتی شامل چند مولفه ی تجربی متفاوت برای توجیه مهمترین مولفه ی قطبیت حلال که بر انتقالات d-d کمپلکس ها تأثیر دارد با استفاده از نرم افزار کامپیوتری SPSS ارائه گردید. استفاده از روش رگرسیون خطی چندگانه مرحله ای نشان دهنده ی این موضوع می باشد که قدرت دهنگی حلال (که با مولفه ی تجربی DN معرفی می شود) مهمترین نقش را در بروز پدیده ی سولواتوکرومیسم در کمپلکس های سنتزی ایفا می کند.

## واژه های کلیدی:

کمپلکس های دو هسته ای، دی استیل مونواکسیم، سولواتوکرومیسم، مس (II)، نرم افزار SPSS

## فهرست مطالب

### شماره‌ی صفحه

### عنوان

۱	۱- مقدمه و تئوری
۱	۱-۱- منشأ رنگ‌ها در ترکیبات معدنی
۳	۲-۱- نقش حلال‌ها و اثرات حلال
۵	۳-۱- مولفه‌های قطبیت حلال
۶	۳-۱-۱- مولفه‌ی $\alpha$
۶	۳-۱-۲- مولفه‌ی $\beta$
۷	۳-۱-۳- مولفه‌ی DN
۷	۴-۱- مولفه‌ی AN
۸	۴-۱-۵- مولفه‌ی $E_T(30)$
۸	۴-۱-۶- کرومتوکروپیسم
۱۱	۴-۱-۷- ویژگی‌های یک ترکیب سولواتوکرومیسم
۱۱	۴-۱-۸- سولواتوکرومیسم در کمپلکس‌های معدنی
۱۴	۴-۱-۹- سولواتوکرومیسم در کمپلکس‌های نیکل (II)
۱۵	۴-۱-۱۰- سولواتوکرومیسم در کمپلکس‌های مس (II)
۱۵	۵-۱- کمپلکس‌های دو هسته‌ای
۱۶	۵-۱-۱- کمپلکس‌های دو هسته‌ای مس (II)
۱۶	۵-۱-۲- سولواتوکرومیسم کمپلکس‌های دو هسته‌ای مس (II)
۱۷	۶-۱- کاربرد مدل‌های آماری در مطالعات سولواتوکرومیسمی
۱۷	۶-۱-۱- بسته نرم افزاری SPSS
۱۸	۶-۱-۲- رگرسیون خطی چندگانه

۱۹	۱-۲-۶-۱- رگرسیون خطی چندگانه مرحله ای
۲۰	۱-۶-۲- تجزیه و تحلیل آماری مدل
۲۲	۱-۶-۳- روش ارزیابی تقاطعی
۲۴	۱-۷- اهداف تحقیق
۲۵	۲- بخش تجربی
۲۵	۲- دستگاه ها و مواد مورد استفاده
۲۵	۲-۱- دستگاه ها
۲۵	۲-۱-۱- IR- دستگاه
۲۶	۲-۱-۱-۱- NMR- دستگاه
۲۶	۲-۱-۱-۱-۲- دستگاه هدایت سنج
۲۶	۲-۱-۱-۲- دستگاه تجزیه عنصری
۲۶	۲-۱-۱-۳- UV-VIS- دستگاه
۲۷	۲-۱-۲- مواد شیمیایی
۲۸	۲-۲- تهیه ترکیبات
۲۸	۲-۲-۱- تهیه لیگندها
۲۸	۲-۲-۱-۱- روش تهیه لیگند ۱
۲۹	۲-۲-۱-۲- روش تهیه لیگند ۲
۳۰	۲-۲-۲- روش تهیه کمپلکس ها
۳۰	۲-۲-۲-۱- روش تهیه کمپلکس ۱
۳۱	۲-۲-۲-۲- روش تهیه کمپلکس ۲
۳۱	۲-۲-۲-۳- روش تهیه کمپلکس ۳
۳۲	۲-۲-۴- روش تهیه کمپلکس ۴
۳۳	۲-۵- روش تهیه کمپلکس ۵

۳۳	۶-۲-۲-۶-روش تهیه کمپلکس
۳۴	۳-بحث و نتیجه گیری
۳۴	۳-۱-سنتر و شناسایی ترکیبات
۳۴	۳-۱-۱-روش تهیه و شناسایی لیگند ها
۳۶	۳-۱-۲-روش تهیه و شناسایی کمپلکس ها
۴۰	۳-۱-۲-۱-روش دیگر تهیه کمپلکس های حاوی یون مخالف پرکلرات
۴۳	۳-۲-بررسی سولواتوکرومیسم کمپلکس ها
۴۳	۳-۲-۱-بررسی سولواتوکرومیسم کمپلکس های ۱، ۲ و ۳
۴۵	۳-۲-۲-بررسی سولواتوکرومیسم کمپلکس های ۴، ۵ و ۶
۴۸	۳-۳-تحلیل آماری نتایج
۴۸	۳-۳-۱-بررسی سولواتوکرومیسم کمپلکس های سنتری به روش رگرسیون خطی چندگانه
	(SMLR) مرحله ای
۵۴	۳-۳-۲-بررسی رابطه ای بیشینه ای طول موج جذبی کمپلکس ها با DN حالات
۵۸	۳-۴-نتیجه گیری
۵۹	۳-۵-پیشنهاداتی برای کارهای آینده
۶۰	ضمیمه ۱ (طیف های IR)
۶۸	ضمیمه ۲ (طیف های NMR)
۷۲	مراجع

## فهرست شکل ها

### شماره ای صفحه

### عنوان

- ۳ شکل ۱-۱: تعدادی از انتقالات نامبرده شده در کمپلکس های فلزات واسطه
- ۱۰ شکل ۱-۲: سولواتوکرومیسم منفی (هیپسو کرومیک)
- ۱۰ شکل ۱-۳: سولواتوکرومیسم مثبت (باشو کرومیک)
- ۱۲ شکل ۱-۴: a) معرف بازی لوئیس b) معرف اسیدی لوئیس
- ۱۲ شکل ۱-۵: مکانیسم کثوردینه شدن حلال به نیکل (II)
- ۱۳ شکل ۱-۶: الگوی شکافتگی اوربیتال های d نیکل (II) به دلیل اختلاف شدن مولکول های حلال
- ۱۳ شکل ۱-۷: مکانیسم سولواتوکرومیسم نوع دوم در کمپلکس آهن (II)
- ۱۴ شکل ۱-۸: الگوی شکافتگی اوربیتال d کمپلکس آهن (II)
- ۴۱ شکل ۱-۹: طیف های IR کمپلکس های ۱، ۲ و ۳
- ۴۲ شکل ۱-۱۰: طیف های IR کمپلکس های ۴، ۵ و ۶
- ۴۴ شکل ۱-۱۱: طیف جذبی کمپلکس ۱ در حلال های مختلف
- ۴۴ شکل ۱-۱۲: طیف جذبی کمپلکس ۲ در حلال های مختلف
- ۴۵ شکل ۱-۱۳: طیف جذبی کمپلکس ۳ در حلال های مختلف
- ۴۶ شکل ۱-۱۴: طیف جذبی کمپلکس ۴ در حلال های مختلف
- ۴۷ شکل ۱-۱۵: طیف جذبی کمپلکس ۵ در حلال های مختلف
- ۴۷ شکل ۱-۱۶: طیف جذبی کمپلکس ۶ در حلال های مختلف
- ۵۱ شکل ۱-۱۷: نمودار  $\lambda_{\text{exp}}$  بر حسب  $\lambda_{\text{pre}}$  کمپلکس ۱
- ۵۱ شکل ۱-۱۸: نمودار  $\lambda_{\text{exp}}$  بر حسب  $\lambda_{\text{pre}}$  کمپلکس ۲
- ۵۲ شکل ۱-۱۹: نمودار  $\lambda_{\text{exp}}$  بر حسب  $\lambda_{\text{pre}}$  کمپلکس ۳

- شکل ۱۲-۳: نمودار  $\lambda_{\text{exp}}$  بر حسب  $\lambda_{\text{pre}}$  کمپلکس ۴  
۵۲
- شکل ۱۳-۳: نمودار  $\lambda_{\text{exp}}$  بر حسب  $\lambda_{\text{pre}}$  کمپلکس ۵  
۵۳
- شکل ۱۴-۳: نمودار  $\lambda_{\text{exp}}$  بر حسب  $\lambda_{\text{pre}}$  کمپلکس ۶  
۵۳
- شکل ۱۵-۳: رابطه‌ی خطی بین  $\lambda_{\text{max}}$  کمپلکس ۱ و DN حلال‌های مورد استفاده  
۵۴
- شکل ۱۶-۳: رابطه‌ی خطی بین  $\lambda_{\text{max}}$  کمپلکس ۲ و DN حلال‌های مورد استفاده  
۵۵
- شکل ۱۷-۳: رابطه‌ی خطی بین  $\lambda_{\text{max}}$  کمپلکس ۳ و DN حلال‌های مورد استفاده  
۵۵
- شکل ۱۸-۳: رابطه‌ی خطی بین  $\lambda_{\text{max}}$  کمپلکس ۴ و DN حلال‌های مورد استفاده  
۵۶
- شکل ۱۹-۳: رابطه‌ی خطی بین  $\lambda_{\text{max}}$  کمپلکس ۵ و DN حلال‌های مورد استفاده  
۵۶
- شکل ۲۰-۳: رابطه‌ی خطی بین  $\lambda_{\text{max}}$  کمپلکس ۶ و DN حلال‌های مورد استفاده  
۵۷

## فهرست جدول ها

شماره ای صفحه	عنوان
۲۷	جدول ۲-۱: مواد شیمیایی استفاده شده و نام شرکت سازنده‌ی آنها
۲۸	جدول ۳-۱: نتایج اندازه گیری هدایت مولی کمپلکس‌های ۱، ۲ و ۳
۲۹	جدول ۳-۲: نتایج اندازه گیری هدایت مولی کمپلکس‌های ۴، ۵ و ۶
۴۳	جدول ۳-۳: مقایسه‌ی $\lambda_{max}$ و $\epsilon_{max}$ کمپلکس‌های ۱، ۲ و ۳ در حلال‌های مختلف
۴۶	جدول ۳-۴: مقایسه‌ی $\lambda_{max}$ و $\epsilon_{max}$ کمپلکس‌های ۴، ۵ و ۶ در حلال‌های مختلف
۴۸	جدول ۳-۵: مقادیر مولفه‌های حلال‌های مورد استفاده
۴۹	جدول ۳-۶: معادلات بدست آمده از رگرسیون خطی چندگانه مرحله‌ای
۵۰	جدول ۳-۷: مقادیر بدست آمده از محاسبه‌ی $R_{pre}$ , PRESS, SSY, Q <sup>2</sup> و PRESS

## فهرست شماها

### شماره‌ی صفحه

### عنوان

۳۵	شمای ۳-۱: معادله واکنش تهیه لیگندها
۳۷	شمای ۳-۲: معادله کلی واکنش تهیه کمپلکس‌های ۱، ۲ و ۳
۳۸	شمای ۳-۳: معادله کلی واکنش تهیه کمپلکس‌های ۴، ۵ و ۶
۴۰	شمای ۳-۴: معادله کلی تشکیل کمپلکس‌های حاوی پرکلرات از لیگند مربوطه

## لیست عالیم و اختصارات

### اصطلاحات تخصصی

AN	Acceptor Number
CT	Charge Transfer
DN	Donor Number
IL	Intra Ligand Transition
IR	Infrared
IT	Inter valence Transition
LF	Ligand Field
LMCT	Ligand to Metal Charge Transfer
MLCT	Metal to Ligand Charge Transfer
MSCT	Metal to Solvent Charge Transfer
NMR	Nuclear Magnetic Resonance
Ph	Phenyl Ring
UV	Ultra-Violet
Vis	Visible

اصطلاحات مربوط به لیگند ها

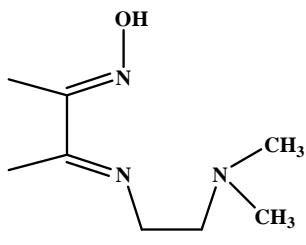
acac	Acetylacetone
CN	Cyanide
diamine	N,N- Dialkyle N'-benzylethylenediamine
en	Ethylenediamine
Hdox	Diacetylmonoxime
Phen	1,10- phenanthroline
pmdt	N, N, N', N'', N'''- Pentamethyl-diethylenetriamine
taet	Tetraketonate
tmen	Tetramethylethylenediamine

اصطلاحات مربوط به حلال ها

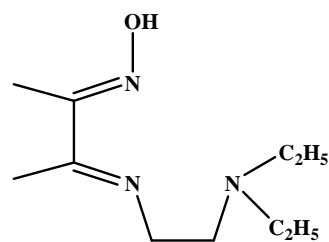
Ac	Acetone
ACN	Acetonitrile
DCM	Dichloromethane
DMF	N,N- dimethylformamide
DMSO	Dimethylsulfoxide
HMPA	Hexamethyl phosphoramide
NB	Nitrobenzene
NM	Nitromethane
Py	Pyridine

## معرفی ترکیبات

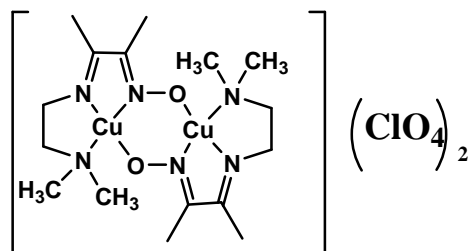
لیگندها و کمپلکس‌هایی که در این پژوهه معرفی می‌شوند دارای ساختارهای زیر می‌باشند و با شماره‌هایی که مشاهده می‌شود در طی پژوهه بیان می‌گردد.



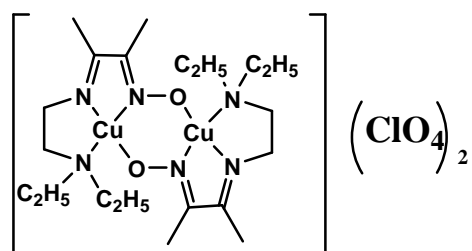
لیگند ۱



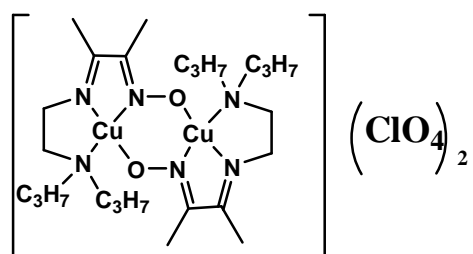
لیگند ۲



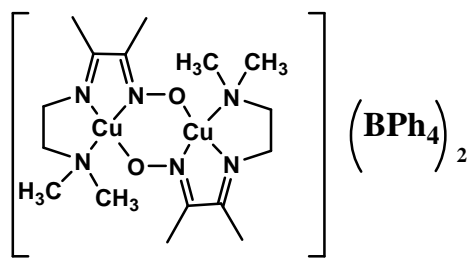
کمپلکس ۱



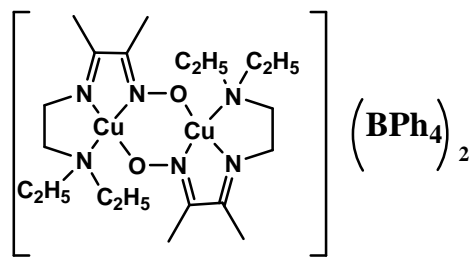
کمپلکس ۲



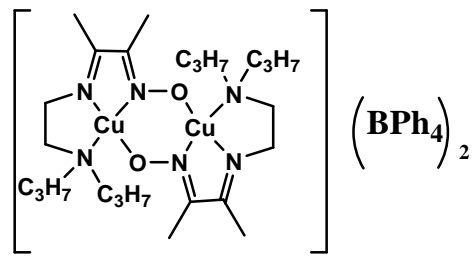
کمپلکس ۳



كمپلکس ۴



كمپلکس ۵



كمپلکس ۶

## فصل اول

### ۱- مقدمه و تئوری

#### ۱-۱- منشاً رنگ ها در ترکیبات معدنی

یکی از ویژگی های جالب فلزات واسطه، رنگین بودن آنها می باشد، در حالیکه ترکیبات فلزات اصلی عموماً بی رنگ هستند. به طور کلی منشاً رنگ در ترکیبات معدنی به خصوص در کمپلکس های فلزات واسطه به دلایل زیر می باشد:

۱- انتقالات میدان لیگند  $^1LF$

۲- انتقالات بار  $^2CT$

۳- انتقالات درون لیگند  $^3IL$

#### <sup>٤</sup>- انتقالات بین ظرفیتی IT

جهش های  $d \rightarrow d$  کمپلکس های فلزات واسطه را نوارهای میدان لیگند می نامند. به طور کلی این نوارها از شدت کمی برخوردار بوده، زیرا از نظر تقارنی این جهش از نوع  $g \rightarrow g$  بوده که غیر مجاز می باشد و اگر این نوارها از لحاظ اسپینی نیز غیر مجاز باشد، با تغییر تعداد الکترون های جفت نشده همراه خواهد بود و شدت نوارها بیش از پیش پائین خواهد بود. اگر چه نوارهای میدان لیگند دارای شدت های بسیار کمی هستند اما تنوع رنگ اغلب کمپلکس های فلزات واسطه از این جهش الکترونی ناشی می شود [۱].

نوع دیگر انتقالات الکترونی، انتقال بار می باشد. انتقالات بار می تواند به دو صورت از فلز به لیگند <sup>۵</sup> یا از لیگند به فلز <sup>۶</sup> (LMCT) (MLCT) صورت گیرد.

در زمانی که یون فلزی با حالت اکسایش بالا به عنوان فلز مرکزی به لیگند با تمایل بالا برای اکسید شدن متصل می گردد، انتقال بار لیگند به فلز (LMCT) با شدت بسیار بالائی مشاهده می شود. بهترین مثال از این نوع، یون های ارغوانی پررنگ پرمنگنات و زرد کرومات و نارنجی دی کرومات می باشند [۲].

انتقال بار از فلز به لیگند (MLCT) بیشتر در کمپلکس هایی که لیگند آنها دارای اوربیتال  $\pi^*$  با انرژی پائین، به ویژه در لیگند های غیر اشباع مشاهده می شود. خانواده ای از لیگندها که بیشتر در انتقال های بار فلز به لیگند شرکت دارند، دی ایمین ها با دو اتم دهنده نیتروژن هستند.

انتقالات درون لیگندی  $IL$  که انتقالات الکترونی از نوع  $\pi^* \rightarrow n$  و  $\pi^* \rightarrow \pi$  می باشند، در این دسته بندی قرار می گیرند. برای مثال می توان به لیگندهای رنگی فتالوسیانین ها<sup>۷</sup> و اریوم کروم بلک T<sup>۸</sup> اشاره نمود [۳].

انتقالات بین ظرفیتی (IT) در ترکیباتی که فلزات در آن با تنوع درجه اکسایش همراه است مشاهده می شود. شدت انتقال های بین ظرفیتی در صورت وجود لیگند پل ساز مناسب، بین دو مرکز فلز، مانند

<sup>4</sup>- Inter valence transition

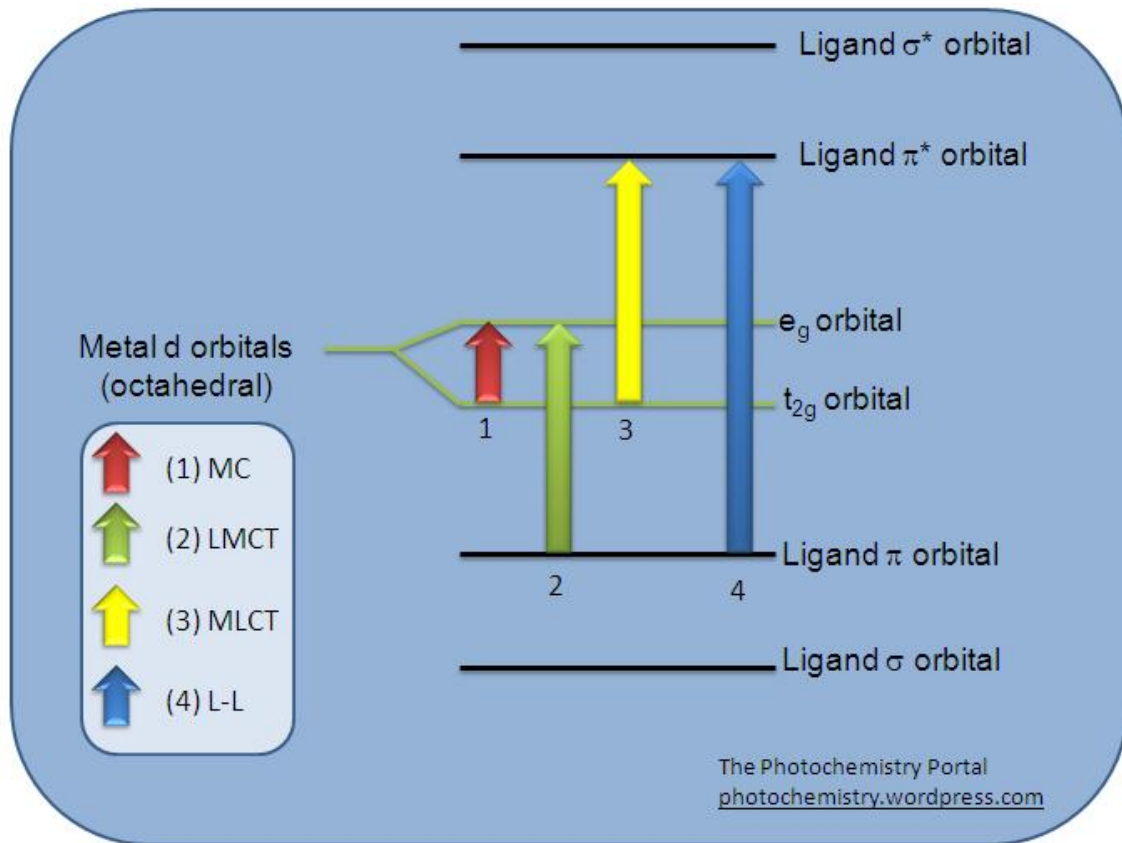
<sup>5</sup>-Metal to ligand charge transfer

<sup>6</sup>-Ligand to metal charge transfer

<sup>7</sup>-Phthalocyanine

<sup>8</sup>-Eriochrom black T

رنگدانه های آبی آهن و یون کروتیز-تاوبی  $[(\text{NH}_3)_5\text{Ru}(\text{Pyz})\text{Ru}(\text{NH}_3)_5]^{+59}$ <sup>9</sup> بسیار بالاست. در بعضی موارد اگر لیگند پل ساز مناسب بین دو فلز وجود نداشته باشد ممکن است شدت نوار IT به اندازه ای کم باشد که این انتقال مشاهده نشود<sup>[4]</sup>. تعدادی از این انتقالات در شکل(۱-۱) نشان داده شده اند.



شکل ۱-۱: تعدادی از انتقالات نامبرده شده در کمپلکس های فلزات واسطه

## ۲-۱- نقش حلل و اثرات حلل

تغییرات شیمیایی می‌توانند در حالت جامد، مایع و یا گاز رخ دهند. اما به جرأت می‌توان گفت که اکثر واکنش‌های شیمیایی در محلول رخ می‌دهند. محلول، محلول، مخلوط همگنی است که از چند ماده با نسبت‌های مختلف تشکیل می‌شود که یکی از این مواد تشکیل دهنده، حلل نامیده می‌شود که بخش اعظم یک محلول را به خود اختصاص می‌دهد.

<sup>9</sup>- Creutz-Taube

با توجه به این که حلال باید توانایی حل کردن واکنش‌گرها را داشته باشد و نیز به گونه‌ای انتخاب گردد که جداسازی محصولات واکنش از محیط واکنش ساده و امکان‌پذیر باشد، انتخاب حلال می‌تواند تأثیر بسزایی بر روی واکنش‌های تحت مطالعه داشته باشد. بنابراین هر زمان که شیمیدانی خواستار انجام واکنش شیمیایی خاصی است، نه تنها باید به اجزای واکنش و غلظت آن‌ها، ظرف انجام واکنش، دمای مناسب برای پیشبرد واکنش و در صورت نیاز حضور یک کاتالیزگر مناسب توجه کند، بلکه باید در صورت امکان‌پذیر بودن واکنش طراحی شده، در مورد انتخاب حلال یا مخلوطی از حلال‌ها نیز تحقیق کند.

در سال ۱۸۶۲، برتلوت<sup>۱۰</sup> و سنت-ژیلز<sup>۱۱</sup>، پس از مطالعه دقیق استری شدن اسید استیک با اتانول، برای اولین بار به تأثیر حلال در سرعت واکنش شیمیایی پی برداشتند<sup>[۵]</sup>. در سال ۱۸۹۰، منشوتکین<sup>۱۲</sup> اعلام کرد که یک واکنش نمی‌تواند از محیطی که در آن اتفاق افتاده جدا شود<sup>[۶]</sup>. او تأکید داشت تأثیر حلال‌ها عموماً مربوط به ساختارهای شیمیائی آن‌ها می‌باشد تا خواص فیزیکی آن‌ها و ارتباطی برای سرعت واکنش‌ها و ساختار حلال ارائه داد. اثر حلال بر روی موقعیت تعادل شیمیایی در سال ۱۸۹۶ توسط کلایزن<sup>۱۳</sup> [۷] در آخن<sup>۱۴</sup>، نور<sup>۱۵</sup> [۸] در ژنا<sup>۱۶</sup>، ویسلیسنووس<sup>۱۷</sup> [۹] و هانتزش<sup>۱۸</sup> [۱۰] در وورتسبورگ<sup>۱۹</sup> کشف گردید.

از دید ماکروسکوپی، حلال جزئی می‌باشد که توسط ثابت‌های فیزیکی ماکروسکوپی مانند دمای جوش، فشار بخار، ضریب شکست، ظرفیت گرمایی، کشش سطحی و غیره شناسائی می‌گردد. حلال محیط ایده‌آلی برای انتقال حرارت در واکنش‌های گرمازا و گرمگیر نیز می‌باشد.

از دیدگاه مولکولی-میکروسکوپی حلال جزئی گستره می‌باشد که از مولکول‌های حلال واکنش دهنده تشکیل یافته و بر اساس خواص مولکولی مانند ممان دوقطبی، قطبش پذیری الکترونیکی، توانایی

<sup>10</sup>-Berthelot

<sup>11</sup>-Saint-Giles

<sup>12</sup>-Menschutkin

<sup>13</sup>-Claisen

<sup>14</sup>- Aachen

<sup>15</sup>- Knorr

<sup>16</sup>- Jena

<sup>17</sup>- Wislicenus

<sup>18</sup>- Hantzsch

<sup>19</sup>- Wurzburg

دهندگی و گیرندگی پیوند هیدروژنی، توانایی دهنده‌گی یا پذیرندگی جفت الکترون و غیره شناسائی می‌گردد [۱۵-۱۱].

در حالیت مواد حل شونده، حل شبکه بلورین حل شونده‌های جامد را می‌شکند و حل شونده‌های جامد یا گازی را حل می‌کند و تأثیر قابل ملاحظه‌ای بر سرعت واکنش و موقعیت تعادل شیمیائی و همچنین موقعیت و شدت طیف‌های جذبی حل شونده‌های شامل کروموفر دارند [۱۷، ۱۶].

جنبه‌های ماکروسکوپیک و میکروسکوپیک حل با یکدیگر برای تعیین بر همکنش‌های حل-حل شونده باید در نظر گرفته شوند. این جوانب شامل: ۱- خواص فیزیکی ماکروسکوپیک، مانند ضریب شکست، نفوذ پذیری الکتریکی نسبی، خواص ترمودینامیکی و ... ۲- نیروهای بین مولکولی میکروسکوپی شامل یون دوقطبی، دوقطبی-دوقطبی القا شده، پیوند هیدروژنی، برهمکنش‌های جفت الکترون دهنده-پذیرنده و برهمکنش‌های حل دوستی ۳- حلalیت در سیستم‌های چند جزئی شامل حلالیت انتخابی و حلالیت مایسلی و ۴- حلالیت شیمیائی مربوط به مراحل یونیزاسیون و تفکیک می‌باشد. موارد ۱ تا ۴ در کل به عنوان تأثیرات حل معرفی می‌گردند و قطبیت<sup>۲۰</sup> حل نامیده می‌شوند.

### ۱-۳- مؤلفه‌های قطبیت حل

برهم کنش میان حل و حل شونده ناشی از پیوندهای ویژه از قبیل کئوردیناسیون، پیوند هیدروژنی و پیوندهای غیر ویژه ناشی از اثرات الکتروستاتیک می‌باشد. بنابراین امکان یافتن یک مؤلفه فیزیکی برای بیان مشخصات حل مقدور نیست. بر این اساس نیاز به معرفی مؤلفه‌های تجربی جهت مشخص کردن اثر حل ضرورت می‌یابد. از نظر تاریخی، پیشگامان مؤلفه‌های تجربی گرانولد و وینستین<sup>۲۱</sup> بودند که در سال ۱۹۴۸ مقدار  $Y$  (مقدار کمی قدرت یونی) را توسط مطالعات ثابت سرعت محاسبه کردند [۱۸]. بعضی از پر کاربردترین مؤلفه‌های تجربی به همراه توضیح مختصری در مورد آنها در ادامه بیان شده است.

<sup>20</sup>-Polarity  
21- Weinstein